

LAPPEENRANNAN TEKNILLINEN YLIOPISTO

School of Engineering Science

Laskennallisen tekniikan koulutusohjelma

Kandidaatintyö

Arna Hyvärinen

Fysiikkasimulaatiot videopeleissä

Ohjaaja: Jouni Sampo

TIIVISTELMÄ

Lappeenrannan teknillinen yliopisto

School of Engineering Science

Laskennallisen tekniikan koulutusohjelma

Arna Hyvärinen

Fysiikkasimulaatiot videopeleissä

Kandidaatintyö

2017

20 sivua, 5 kuvaa, 0 taulukkoa, 2 liitettä

Ohjaaja: Jouni Sampo

Avainsanat: fysiikkamoottorit; simulaatio; videopelit; mekaniikka; virtauslaskenta;

Työssä kartoitetaan saatavilla olevaa tietoa fysiikkamoottoreista, ja miten niitä käytetään videopeleissä. Aihe on rajattu mekaanisen liikkeen ja virtauksen simuloimiseen.

Fysiikkamoottori on videopelikontekstissa pelimoottorin osaohjelma, joka laskee pelissä tapahtuvia fysikaalisia ilmiöitä numeerisesti. Esimerkiksi kappaleiden yhteentörmäys ja sen seurakset lasketaan fysiikkamoottorilla. Pelimoottorin täytyy pystyä reagoimaan pelaajan toimintaan realliajassa. Tämän takia laskenta täytyy tehdä numeerisesti, ja suunnitella mahdollisimman kevyeksi suorittaa. Se, kuinka tarkkaan simulaatio vastaa todellisuutta, on suunniteltava pelin tarpeiden kohtaisesti.

Työtä varten koodataan kaksi omaa simulaatiota. Ensimmäinen on yksinkertainen mekaniikkasimulaattori, jossa joukko palloja kimpoilee laatikossa. Toinen simulaatio kuvaa virtausta, simuloimalla nestettä partikkelijoukkona. Simulaation vaikeuksia on törmäyksestä irtautuminen, ja etenkin virtaussimulaation laskentateho. Hyvä partikkelisimulaatio vaatii niin suuren määrän palloja, että tämän ohjelman ajaminen tavanomaisella tietokoneella on epämiellyttävän hidasta. Raskaudesta johtunee se, että peleissä nestettä harvoin simuloidaan realistisesti.

Sisältö

Symboli- ja lyhenneluettelo	5
1 JOHDANTO	6
1.1 Fysiikkasimulaatioista yleisesti	6
1.2 Tutkimusongelma, tavoitteet ja rajaus	6
1.3 Tutkimusmetodologia ja -järjestelyt	6
2 MALLIN TAUSTA/TEORIA	7
2.1 Fysiikkamoottori	7
2.2 Mekaniikka	8
2.3 Virtaus	13
3 SIMULAATIOESIMERKIT	14
3.1 Oma simulaatio: Palloja laatikossa	14
3.1.1 Koodi	15
3.1.2 Ongelmat	15
3.2 Oma simulaatio: Virtaus	17
3.2.1 Koodi	17
3.2.2 Ongelmat	17
4 KESKUSTELU	17
5 YHTEENVETO	19
LÄHTEET	20
Kuvat	21

Liitteet

Liite 1: Palloja laatikossa MATLAB-koodi

Liite 2: Malja MATLAB-koodi

Symboli- ja lyhenneluettelo

a	kiihtyvyys
F	voima
g	putoamiskiihtyvyys
I	impulssi
m	massa
p	paine
s	paikka
t	aika
v	nopeus
v'	nopeus törmäyksen jälkeen
x	paikkakoordinaatti
ν	kinemaattinen viskositeetti
ρ	tiheys
ω	vaimennuskerroin

SPH Smoothed Particle Hydrodynamics

1 JOHDANTO

1.1 Fysiikkasimulaatioista yleisesti

Fysiikkasimulaatiot ovat erittäin hyödyllisiä todellisessa maailmassa tekniikan alalla, sillä niiden avulla voidaan ennustaa fysikaalisten ilmiöiden käyttäytymistä ja optimoida toimintaa. Videopeleissä simulaatiot eivät ole yhtä realistisia kuin oikean maailman simuloimiseen tarkoitettut mallit. Ne täytyy suunnitella tarpeeksi kevyiksi laskea, jotta peli voi reagoida pelaajaan reaaliajassa.

Tärkein aspekti pelien fysiikkasimulaatioissa on pelin miellyttävyys: realistisia simulaatioita käyttämällä voidaan tehdä realistisia pelejä. Tämä on kuitenkin kaksiteräinen miekka: realistinen peli ei välttämättä ole miellyttävä pelata. Esimerkiksi biljardivideopelissä itse lajiin perehtymätön pelaaja odottaa intuitiivisesti pallojen kimpoilevan seinistä peilikulmassa. Todellisuudessa näin ei ole, vaan mm. pallon kierre vaikuttaa kulmaan. Mutta jos pallo käyttäytyy eri tavalla kuin pelaaja odottaa, peli ei tunnu responsiiviselta, ja pelin hallinta tuntuu pelaajasta huonolta. Toisaalta jos pelaaja räjäyttää pommin ruohikossa, ja heinät heilahtavat ilmapirran mukana, pelaaja kokee vaikuttuneensa maailmaan vahvemmin kuin jos heinä pysyisi staattisesti pystyssä. Tämän lisäksi esimerkiksi taustalla todellisuuden mukaisesti virtaava vesi lisää pelimaailman realismia, jolloin siihen on helpompi uppoutua. Ja tietenkin alan harrastajat ihailevat esteettisesti miellyttävää simulaatiota.

1.2 Tutkimusongelma, tavoitteet ja rajaus

Tavoitteena työssä on kartoittaa vapaasti saatavilla olevaa tietoa videopelien fysiikkasimulaattoreista. Työ keskittyy kappaleen mekaanisen liikkeen simulaatioon sekä veden ja virtauksen simulaatioon, tässä järjestyksessä. Työssä perehdytään siihen, miten nämä voidaan toteuttaa, sekä teoriomielessä että käytännössä koodaamalla.

1.3 Tutkimusmetodologia ja -järjestelyt

Tässä työssä simuloidaan muutamia fysiikan perusilmiöitä.

Käytännön kokemuksen saamiseksi työn lopuksi toteutetaan yksinkertainen, kaksiulotteinen mekaniikkamoottori, jolla simuloidaan pistemäisten kappaleiden liikettä. Myös nesteen lii-

kettä simuloidaan. Moottori tehdään MATLAB-ohjelmistolla.

Tavoitteena on tutkia fysiikkasimulaatioita muutaman esimerkin kautta. Nämä ovat pistemäisen kappaleen mekaniikka sekä veden virtaus. Tarkoituksena on selvittää yhtälöt, joilla edellä mainittujen ilmiöiden mallintaminen tapahtuu, ja miten nämä yhtälöt ratkaistaan. Sen jälkeen esitellään oma malli ja sen toimintaa demonstroidaan.

2 MALLIN TAUSTA/TEORIA

2.1 Fysiikkamoottori

Fysiikkamoottori on pelimoottorin osaohjelma, joka mallintaa fysiikkaa esimerkiksi laske-
malla simuloitavien kappaleiden liikkeitä. Pelifirmat yleensä eivät kehitä pelimoottoreitaan
itse, koska resursseja käytetään mieluummin itse pelin tekemiseen. Tunnettuja pelimootto-
reita ovat Unity (Unity 2018), Unreal Engine (UnrealEngine 2018) ja Godot (Godot 2018).

Tärkeä ominaisuus on tehokkuus, jossa vastaan tuleekin pelimoottoreiden suunnittelun kes-
keinen pulma: mitä tarkemmin fysiikkaa mallinnetaan, sitä raskaampaa sitä on laskea. Koska
peleissä tarvitaan tilan reaaliaikaista laskentaa, mallinnusta on pakko yksinkertaistaa laittei-
den tehon takia.

Pelimoottorin ei ole järkevää laskea tapahtumaketjua analyttisesti jatkuvana, koska sen
täytyy ottaa huomioon käyttäjän toiminta. Numeerinen ratkaisu on kevyempi. Moottori las-
kee tapahtumia ”peliluuppeina”: toistuvina kierroksina, joissa tekoälyn toiminta, pelilogiik-
ka, fysiikkasimulaatio ynnä muu lasketaan ja päivitetään (Gregory 2009).

On yleistä, että pelien kehittäjien pelimoottorit käyttävät toisaalta ostettua väliohjelmistoa
monimutkaisten asioiden simuloimiseksi, sillä hyvän ohjelmiston luominen itse veisi liikaa
resursseja ja vaatisi liian syvällistä asiantuntemusta (Nilson et al. 2007). Tällaisia ohjelmisto-
ja on esimerkiksi fysiikkamoottorit, kappaleiden hajoamista käsittelevät tuhoutumismootto-
rit ja vaikeasti simuloitavat yksityiskohdat kuten kankaan liike ja repeäminen (Havok 2017).

Se, kuinka realistista mekaniikkaa fysiikkamoottorin tarvitsee simuloida, riippuu pelistä. Jos
pelaaja ampuu pelissä vihollista haulikolla, ja vihollinen lentää ilmaan, epärealistinen tapah-
tumaketju ruokkii voimafantasiaa. Tosiaalta, jos fysiikkapohjaisessa pulmapelissä (*Portal* on
hyvä esimerkki) kappaleet käyttäytyvät arvaamattomasti, peliä on vain ärsyttävää pelata.

2.2 Mekaniikka

Mekaniikka seuraa Newtonin lakeja, ja käsittelee kappaleiden keskinäistä vuorovaikutusta. Mekaniikkaan kuuluu erinäisiä alahaaroja, kuten dynamiikka, jossa tutkitaan kappaleiden välisiä voimia ja niiden vaikutusta kappaleiden liikkeeseen. Pelkkää liikkeen tarkastelua kutsutaan kinematiikaksi. Yksinkertaisuuden vuoksi kappaleita kuvataan usein massakeskipisteen avulla (Laine 2007).

Dynamiikan liikkeen määrittelemiseksi tarvitaan Newtonin lakeja. Newtonin ensimmäinen laki määrittelee massan hitauden: lepotilassa oleva kappale pyrkii pysymään lepotilassa, liiketilassa oleva kappale pyrkii pysymään liiketilassa. Muutosta liikkeessä taas kuvaa Newtonin toinen laki:

$$\mathbf{F} = m\mathbf{a}$$

jossa \mathbf{F} on kappaleeseen vaikuttava kokonaisvoima, m kappaleen massa ja \mathbf{a} kappaleen kiihtyvyys. Näillä laeilla saadaan tehokkaasti kuvailtua yhden kappaleen liike. Yhtälöllä voidaan ottaa huomioon miten mm. painovoima, kitkavoima ja muut ulkoiset voimat vaikuttavat kappaleen liikkeeseen. Jos käsitellään useampaa kappaletta, tarvitaan Newtonin kolmas laki. Se on voiman ja vastavoiman laki, ja se on törmäystilanteessa keskeisin laki. Sen mukaan kahden kappaleen väliset voimat ovat yhtä suuria, mutta vastakkaisuuntaisia. Kahden kappaleen törmäyksessä tarvitaan lisäksi liikemäärän eli impulssin säilymisyhtälö. Liikemäärän muutoksen määritelmä on:

$$\mathbf{I} = m\Delta\mathbf{v} = \mathbf{F}\Delta t \quad (1)$$

jossa \mathbf{I} on impulssi, \mathbf{v} nopeus ja t aika. Liikkeen yhtälö jossa paikkaa s kuvataan suhteessa aikaan t on

$$s(t) = s_0 + v(t)t + \frac{1}{2}a(t)t^2$$

Jos nopeus ja kiihtyvyys olisivat vakiot, tämä olisi ratkaistavissa kevyesti. Mutta nämä muuttuvat jatkuvasti. Törmäysten tapahtuessa $v(t)$ ja $a(t)$ muuttuvat, ja vuorovaikutuksen takia tarkasta yhtälöstä tulee liiallisen raskas. Onneksi tarkka yhtälö on useimmissa simuloituissa tapauksissa tarpeeton. Pelimootorin ei tarvitse tietää kappaleiden paikkaa absoluuttisen täsmällisesti. Summittainen, nopeasti laskettava malli on useimmissa tapauksissa parempi kuin tarkka mutta hidas tai liian suurta laskutehoa vaativa malli. Siksi yhtälö yksinkertaistetaan numeeriseen versioonsa. Ensin johdetaan paikan muutos.

Nopeuden määritelmästä

$$v = \frac{ds}{dt}$$

saadaan paikan muutos kun nopeus on vakio:

$$ds = v dt$$

$$\int_0^{\Delta s} ds = \int_0^{\Delta t} v dt$$

$$\Delta s \approx v \Delta t$$

Nopeuden muutos saadaan samalla tavalla kiihtyvyydestä:

$$a = \frac{dv}{dt}$$

$$dv = a dt$$

$$\int_0^{\Delta v} dv = \int_0^{\Delta t} a dt$$

$$\Delta v \approx a \Delta t$$

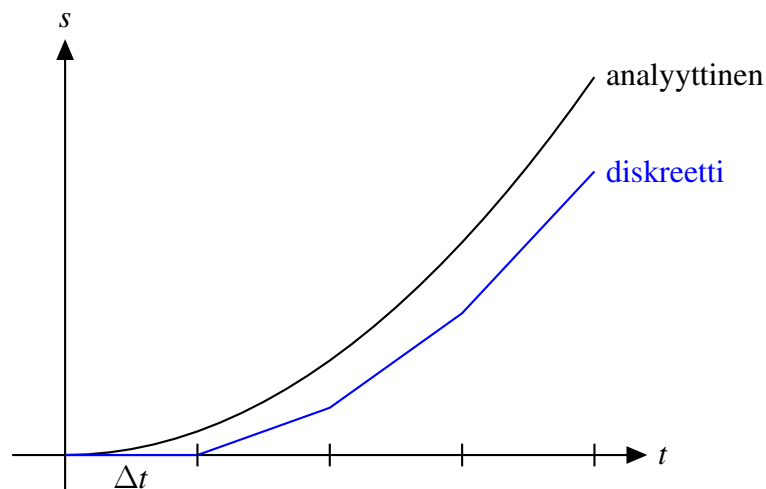
Tästä saadaan mallit kappaleen paikoille ja nopeuksille peräkkäisinä ajanhetkinä.

$$s_{n+1} \approx s_n + v_n \Delta t \quad (2)$$

$$v_{n+1} \approx v_n + a \Delta t \quad (3)$$

Näin saadaan perusnopeus, jonka avulla tavallinen liike saadaan kuvattua.

Tällainen diskretisointi vääristää paikkaa. Kuten kuva (1) näyttää, jokaisella askeleella Δt diskreetisti laskettu paikka jää hieman jälkeen analyttisesti lasketusta paikasta. Mutta jos Δt on tarpeeksi pieni, diskreetti malli on tarpeeksi tarkka.



Kuva 1. Paikka vakiokiihtyvyydellä, analyttinen vs. diskreetti ratkaisu

Seuraavaksi määritellään, mitä tapahtuu kappaleiden kimmotessaan toisistaan. Elastisessa törmäyksessä liikemäärä (1) ja liike-energia pysyvät samoina. Tarkastellaan tilannetta ensin yksiulotteisesti. Liikemäärä p ja liike-energia E_{kin} ovat:

$$p = mv \quad (4)$$

$$E_{kin} = \frac{1}{2}mv^2 \quad (5)$$

Elastisen törmäyksen liikemäärä säilyy. Törmäyksen jälkeistä nopeutta merkitään tässä v' .

$$(4) \quad m_1v_1 + m_2v_2 = m_1v'_1 + m_2v'_2 \quad (6)$$

$$(5) \quad \frac{1}{2}mv_1^2 + \frac{1}{2}mv_2^2 = \frac{1}{2}mv_1'^2 + \frac{1}{2}mv_2'^2 \quad (7)$$

$$\Rightarrow mv_1^2 + mv_2^2 = mv_1'^2 + mv_2'^2 \quad (8)$$

Tästä epälineaarista yhtälöryhmästä voidaan ratkaista törmäyksen jälkeiset nopeudet v'_1 ja v'_2 .

$$(6) \quad v'_2 = \frac{1}{m_2}(m_1v_1 + m_2v_2 - m_1v'_1) \\ = v_2 + \frac{m_1}{m_2}(v_1 - v'_1)$$

Ensin v'_2 ratkaistaan muiden muuttujien avulla, jonka jälkeen sijoitetaan yhtälöön (8), jolloin saadaan toisen asteen yhtä nopeudelle v'_1 .

$$(8) \quad m_1v_1 + m_2v_2^2 = m_1v_1'^2 + m_2 \left(v_2 + \frac{m_1}{m_2}(v_1 - v'_1) \right)^2 \\ = m_1v_1'^2 + m_2 \left(v_2^2 + 2v_2 \frac{m_1}{m_2}(v_1 - v'_1) + \left(\frac{m_1}{m_2}(v_1 - v'_1) \right)^2 \right) \\ = m_1v_1'^2 + m_2v_2^2 + 2v_2m_1(v_1 + v'_1) + \frac{m_1^2}{m_2} (v_1^2 - 2v_1v'_1 + v_1'^2) \\ = m_1v_1'^2 + m_2v_2^2 + 2v_2m_1v_1 - 2v_2m_1v'_1 + \frac{m_1^2}{m_2}v_1^2 - 2\frac{m_1^2}{m_2}v_1v'_1 + \frac{m_1^2}{m_2}v_1'^2 \\ = v_1'^2 \left(m_1 + \frac{m_1^2}{m_2} \right) + v_1' \left(-2v_2m_1 - 2\frac{m_1^2}{m_2}v_1 \right) + m_2v_2^2 + 2v_2m_1v_1 + \frac{m_1^2}{m_2}v_1^2 \\ m_1v_1^2 = v_1'^2 \left(m_1 + \frac{m_1^2}{m_2} \right) + v_1' \left(-2v_2m_1 - 2\frac{m_1^2}{m_2}v_1 \right) + 2v_2m_1v_1 + \frac{m_1^2}{m_2}v_1^2 \\ 0 = v_1'^2 \left(m_1 + \frac{m_1^2}{m_2} \right) - 2v_1' \left(v_2m_1 + \frac{m_1^2}{m_2}v_1 \right) + 2v_2m_1v_1 + \frac{m_1^2}{m_2}v_1^2 - m_1v_1^2 \\ = v_1'^2 \left(1 + \frac{m_1}{m_2} \right) - 2v_1' \left(v_2 + \frac{m_1}{m_2}v_1 \right) + 2v_2v_1 + v_1^2 \left(\frac{m_1}{m_2} - 1 \right)$$

Tästä ratkaistaan v'_1 .

$$v'_1 = \frac{2\left(v_2 + \frac{m_1}{m_2}v_1\right) \pm \sqrt{\left(-2\left(v_2\frac{m_1}{m_2}v_1\right)\right)^2 - 4\left(1 + \frac{m_1}{m_2}\right)\left(2v_2v_1 + v_1^2\left(\frac{m_1}{m_2} - 1\right)\right)}}{2\left(1 + \frac{m_1}{m_2}\right)}$$

Selkeyden vuoksi tarkastellaan neliöjuuren alla olevaa hetki erikseen:

$$\begin{aligned} & 4\left(v_2^2 + 2v_2\frac{m_1}{m_2}v_1\left(\frac{m_1}{m_2}\right)^2v_1^2\right) - 4\left(2v_2v_1 + v_1^2\frac{m_1}{m_2} - v_1^2 + \frac{m_1}{m_2}2v_2v_1 + v_1^2\left(\frac{m_1}{m_2}\right)^2 + v_1^2\frac{m_1}{m_2}\right) \\ &= 4\left(v_2^2 + 2v_2\frac{m_1}{m_2}v_1 + \left(\frac{m_1}{m_2}\right)^2v_1^2 - 2v_2v_1 - v_1^2\frac{m_1}{m_2} + v_1^2 - \frac{m_1}{m_2}2v_2v_1 - v_1^2\left(\frac{m_1}{m_2}\right)^2 + v_1^2\frac{m_1}{m_2}\right) \\ &= 4\left(v_2^2 - 2v_2v_1 + v_1^2\right) \\ &= 4\left((v_2 - v_1)^2\right) \end{aligned}$$

Josta seuraa

$$\begin{aligned} \Rightarrow v'_1 &= \frac{2\left(v_2\frac{m_1}{m_2}v_1\right) \pm \sqrt{4}(v_2 - v_1)}{2\left(1 + \frac{m_1}{m_2}\right)} \\ &= \frac{m_2v_2 + m_1v_1 \pm m_2(v_2 - v_1)}{m_2 + m_1} \\ v'_{1+} &= \frac{1}{m_2 + m_1}(2m_2v_2 + v_1(m_1 - m_2)) \\ v'_{1-} &= \frac{1}{m_2 + m_1}(v_1(m_1 + m_2)) = v_1 \end{aligned}$$

Tästä näkee, että v'_{1-} ei käy, sillä nopeus ei muuttuisi, eli kappaleet menisivät toistensa läpi.

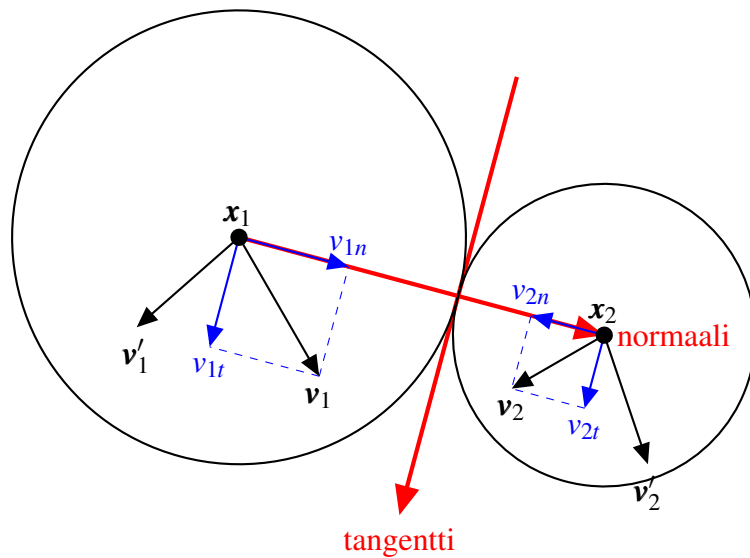
Kaksiulotteisessa törmäyksessä nopeus jaetaan normaalin ja tangentin suuntaisiin projektiioihin, mutta laskutoimitus pysyy muuten samana. Kuva (2) näyttää törmäyksen.

Kun törmäystä käsitellään kaksiulotteisesti, se voidaan nähdä kahtena yksiulotteisena törmäyksenä, eli kappaleen nopeus jaetaan kahteen komponenttiin. Toinen ”törmäys” on kappaleiden keskipisteiden jännittämän normaalin suuntainen, toinen kohtisuorassa normaaliin. Nopeuksia merkitään kuvan mukaisesti: v_n on normaalin suuntainen, v_t tangentin suuntainen. Normaali määritellään yksikkövektorina kappaleiden keskikohtien perusteella:

$$\mathbf{n} = \frac{\mathbf{x}_1 - \mathbf{x}_2}{|\mathbf{x}_1 - \mathbf{x}_2|} \quad (9)$$

Tangentti on myös yksikkövektori, ja kohtisuorassa normaaliin:

$$\mathbf{t} = (-n_y, n_x) \quad (10)$$



Kuva 2. Kahden pallon törmäys, projektiot sinisellä

Nyt nopeudet voidaan jakaa komponentteihin pistetulon avulla seuraavanlaisesti:

$$v_{1n} = \mathbf{n} \cdot \mathbf{v}_1$$

$$v_{1t} = \mathbf{t} \cdot \mathbf{v}_1$$

$$v_{2n} = \mathbf{n} \cdot \mathbf{v}_2$$

$$v_{2t} = \mathbf{t} \cdot \mathbf{v}_2$$

Tangentin suuntaisesti nopeus ei muutu, normaalin suuntaisesti muutos tapahtuu kuten johdettiin edellä.

$$v'_{1t} = v_{1t}$$

$$v'_{2t} = v_{2t}$$

$$v'_{1n} = \frac{1}{m_1 + m_2} (2m_2 v_{2n} + v_{1n} (m_1 - m_2))$$

$$v'_{2n} = \frac{1}{m_1 + m_2} (2m_1 v_{1n} + v_{2n} (m_2 - m_1))$$

Pitää ottaa huomioon että nämä ovat skalaariarvoja. Ne saadaan oikeaoppiseen vektorimuotoon kertomalla normaalin suuntaiset komponentit normaalivektorilla ja tangentin suuntaiset komponentit tangentialvektorilla. Uusi nopeus on komponenttivektoreiden summa

$$\mathbf{v}'_1 = \mathbf{v}'_{1n} + \mathbf{v}'_{1t}$$

$$\mathbf{v}'_2 = \mathbf{v}'_{2n} + \mathbf{v}'_{2t}$$

Pistetulon (Berchek 2009) kanssa kokonaan auki kirjoitettuna:

$$\mathbf{v}'_1 = \mathbf{v}_1 - \frac{2m_2}{m_1 + m_2} \frac{(\mathbf{v}_1 - \mathbf{v}_2) \cdot (\mathbf{x}_1 - \mathbf{x}_2)}{|\mathbf{x}_1 - \mathbf{x}_2|^2} (\mathbf{x}_1 - \mathbf{x}_2) \quad (11)$$

$$\mathbf{v}'_2 = \mathbf{v}_2 - \frac{2m_1}{m_1 + m_2} \frac{(\mathbf{v}_2 - \mathbf{v}_1) \cdot (\mathbf{x}_2 - \mathbf{x}_1)}{|\mathbf{x}_2 - \mathbf{x}_1|^2} (\mathbf{x}_2 - \mathbf{x}_1) \quad (12)$$

2.3 Virtaus

Nesteen virtauksen laskeminen yleisessä tapauksessa on analyttisesti lähes mahdotonta ratkaista, mutta sen voi tehdä numeerisesti. Tärkeitä yhtälöitä virtausmekaniikassa ovat massan säilymistä kuvaava yhtälö ja liikemääräyhtälö. Heikosti kokoonpuristuvan virtauksen jatkuvuusyhtälö on

$$\frac{d\rho}{dt} = -\rho \nabla \cdot \mathbf{v},$$

missä ρ on tiheys ja \mathbf{v} nopeus. Navier–Stokes-yhtälö eli liikemäärän säilymistä kuvaava yhtälö kokoonpuristumattomalle virtaukselle on

$$\frac{d\mathbf{v}}{dt} = -\frac{1}{\rho} \nabla p + \nu \nabla^2 \mathbf{v} + \mathbf{g}$$

missä g on putoamiskiihtyvyys, p on paine ja ν kinemaattinen viskositeetti (nesteen aineominaisuus). Koska näissä kahdessa yhtälössä on kolme tuntematonta muuttujaa, ρ , p ja \mathbf{v} , tarvitaan vielä kolmas yhtälö yhtälöryhmän ratkaisemiseksi, eli jokin tilanyhtälö:

$$\rho = \rho(p)$$

Näitä on useita, esimerkiksi Taitin tilanyhtälö (Korhonen 2016).

Näiden yhtälöiden ratkaiseminen numeerisesti on mahdollista, mutta hyvin vaikeaa. Veden (sekä muiden nesteiden) virtausta voidaan kuitenkin simuloida yksinkertaisemmin kohtelemalla nestettä joukkona pieniä palloja, jotka liikkuvat pintaa kuvaavan kalvon alla. Tekninen termi tälle on Smoothed Particle Hydrodynamics eli SPH. Tässä menetelmässä jokainen hiukkanen kuvaa vakiomassaista nestetilavuutta, sillä tällöin massan säilyminen on taattu, eli jatkuvuusyhtälö on voimassa. Diskretoidun liikeyhtälön johtaminen on silti huomattavan monimutkaista (Korhonen 2016). Tämän lisäksi toimiva SPH vaatii hyvin suuren määrän partikkeleita, pinnan kalvon laskeminen ja stabiilin simulaation luominen voi olla hyvin vaikeaa (Catto 2012).

Työn lopussa esitellään nestesimulaatio, jossa vettä simuloidaan suurena joukkona palloja. Pallot liikkuvat yksittäisen pallon mekaniikan avulla, joka on kuvattu luvussa 2.2. Työssä ei yritetä ratkaista virtausongelmaa oikeaoppisesti, koska tarkoitus on tutkia peleissä toteutettavia metodeja, eikä realistisia simulaatioita.

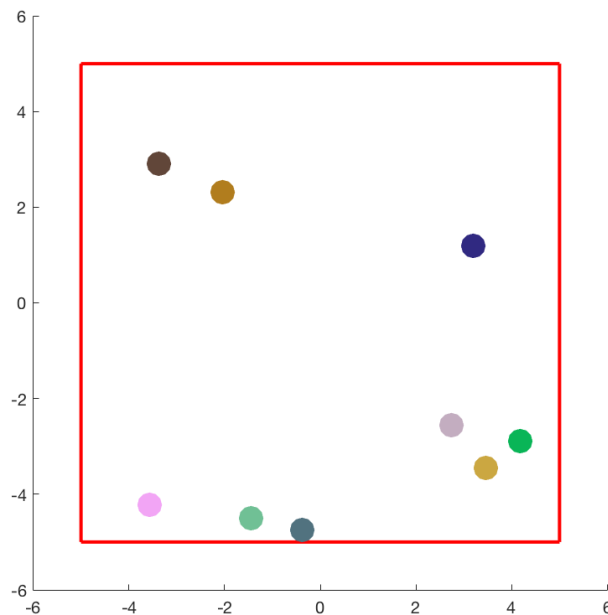
3 SIMULAATIOESIMERKIT

3.1 Oma simulaatio: Palloja laatikossa

Esmierkkisimullaationa työssä on toteutettu yksinkertainen mekaaninen fysiikkasimulaatio, jossa n määrä palloja lähtee liikkeelle satunnaisnopeuksilla, ja kimpolee sekä laatikon seinistä että toisistaan. Simulaatio on toteutettu MATLAB-ohjelmointikielellä.

Simulaatiossa pallot liikkuvat kaksiulotteisessa kitkattomassa tilassa, mutta ne menettävät liikemäärää kimmoissaan. Pallot ”liukuvat”, pyörimisliikettä ei ole otettu huomioon. Törmäyksen jälkeistä liikemäärää pienennetään kertoimella, joka on ohjelmoidessa valittu, esimerkiksi $\omega = 0.99$.

$$(6) \quad \omega(m_1v_1 + m_2v_2) = m_1v'_1 + m_2v'_2$$



Kuva 3. Palloja laatikossa

Pallojen liikettä kuvataan aiemmin eritellyllä tavalla. Tässä malli tosin yksinkertaistuu kiihtyvyyden takia: Koska laatikkomallissa palloihin ei kohdistu sisäisiä voimia, $a = 0$, joten (3) muuttuu muotoon $v_{n+1} = v_n$, eli sitä ei tarvitse huomioida, koska muutosta ei tapahdu. Monimutkaisempi malli jossa painovoimaa käsitellään on esitetty kohdassa 3.2.

Tässä tapauksessa oletetaan, että kaikki pallot ovat samanpainoisia, joten elastisen törmäsyhtälön massatermi muuttuu ykköseksi, eli siitä ei tarvitse välittää.

3.1.1 Koodi

Tarkka MATLAB-koodi on liitteenä. Ohjelma toimii pääpiirteissään seuraavanlaisesti:

Ensiksi alustetaan kuinka monta palloa halutaan, eli kuinka suuri n on. Sitten palloille annetaan satunnaiset lähtönopeudet ja -paikat, ja jos $n < 9$, niille määritellään biljardpallojen mukaiset värit. Jos palloja on enemmän, värit arvotaan satunnaisesti. Satunnaisessa paikkasijoituksessa syntyy ongelmia, jos palloja sijoitetaan vahingossa sisäkkäin. Siksi asia tarkistetaan, ja jos kaksi palloa ovat sisäkkäin, koodi nostaa näille palloille liput. Liputettu pallo ei voi kimmota muista palloista. Tämän on tarkoitus estää sisäkkäin jumiin jäämistä, tilannetta jossa pallot jäävät kimpoilemaan toisiinsa eivätkä pääse tarpeeksi kauas toisistaan ennen kuin ne kimpoavat taas toisiaan päin. Myös vakiot, kuten aika-askeleen pituus ja kimmokerroin, määritellään.

Kun alustus on tehty, alkaa ajastettu while-luoppi. Seuraavan aika-askeleen sijoituspaikka lasketaan kaavan (2) mukaan. Sitten tarkistetaan seiniin osuminen: jos pallo osuu seinän rajalla, se kimpoaa peilikulmassa, eli seinään kohtisuorassa oleva nopeusvektorin komponentti muuttuu erimerkkiseksi. Tämän lisäksi nostetaan lippu jonka mukaan pallo on seinässä, tarkoitus on jälleen varmistaa, ettei se jää kimpolemaan seinän sisään. Jos pallo on tarpeeksi kaukana seinästä, lippu vapautetaan.

Seuraavaksi testataan pallojen toisistaan kimpoilemista. Tämä toimii samalla periaatteella: jos kahden pallon välinen etäisyys on pienempi tai yhtä suuri kuin pallon halkaisija, pallot kimpoavat. Nopeus lasketaan kaavojen (11) ja (12) mukaan ja kerrotaan kimmokertoimella. Pallot liputetaan, ja jos kaksi liputettua palloa eivät ole sisäkkäin, lipput vapautetaan. Lopuksi pallot piirretään.

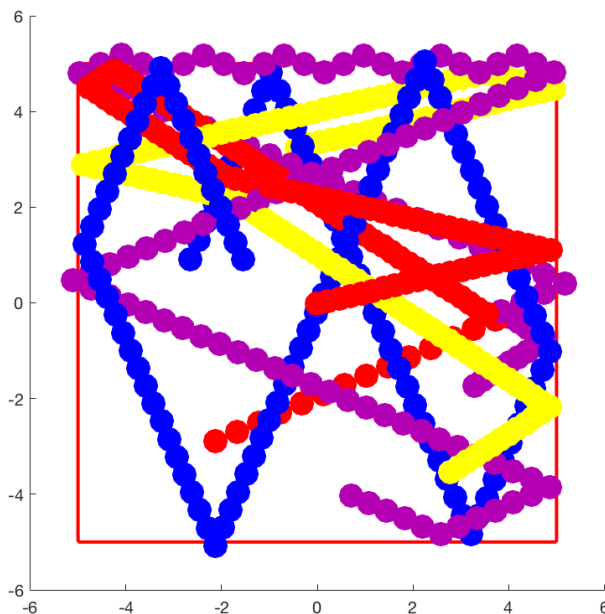
3.1.2 Ongelmat

Näinkin yksinkertaisessa simulatioissa ei voi välttyä ongelmilta. Kuten aiemmin kuvailtiin, määriteltiin, että jos pallon keskipisteen ja seinän välinen etäisyys on pienempi kuin pallon säde, pallo kimpoaa peilikulmassa. Ongelma syntyy, jos pallo ei seuraavan aika-askeleen aikana pääse pois seinän sisästä, jolloin pallo yrittää jälleen kimmota peilikulmassa, päätyen vain takaisin seinään. Tästä seuraa se, että pallo jää kimpoilemaan seinän sisään. Samanlai-

nen ongelma kävi myös pallojen keskinäisen liikkeen kanssa: toisinaan pallot jäivät jumiin sisäkkäin.

Ongelmaa voidaan yrittää ratkaista liputtamalla palloja kimpoamisen jälkeen. Tarkistetaan, ovatko juuri kimmonneet pallot vielä sisäkkäin, tai määrittelemällä että pallo ei voi kimmo- ta samaan kappaleeseen seuraavalla peliloopilla. Nämä tarkistukset tosin hidastavat ohjelman ajamista, varsinkin suurella määrällä palloja, ja varma korjaus vaatisi niin lyhyitä peliloop- peja että ohjelman ajamisen miellyttävyys kärsii.

Yksi odottamaton pullonkaula oli piirtäminen. Ohjelma oli määritelty ajettavan tietyn ajan. Kokeilumielessä mitattiin montako pelilooppia ohjelma ehtii tehdä tavallisesti¹, ja silloin kun piirtämisfunktio otettiin väliaikaisesti pois. Ilman piirtämistä kierroksien määrä noin kolmin- kertaisutui, 30 s ajolla kahdellakymmenellä pallolla 546:sta loopista 1550:een. Hidastava piirtäminen on ohjelmiston ongelma, ja sille ei ohjelmoija voi mitään. Tässä simulaatios- sa muun laskennan optimointi ei ole mielekäästä, koska graffikan tuottaminen vie valtaosan ajasta.



Kuva 4. Neljän pallon liikeradat: Violetti pallo jäi yläseinään

¹Looppilaskin otettiin pois koodin liitteenä olevasta versiosta

3.2 Oma simulaatio: Virtaus

Kuten aiemmin mainittiin, virtausta voi simuloida joukolla pieniä palloja. Käytännön kokeilua varten sovellettiin edellisen simulaation koodia. Simulaatiossa edellinen laatikko katsottiin maljaksi, jossa pallot vellovat. Alkusysäyksen aikaansaamiseksi kaikki pallot laitettiin maljan sivuun, ja päästettiin putoamaan. Pesarapallojen lisäksi pirrettiin punaisella massakeskipiste, jotta paremmin voitaisiin seurata yleistä käyttäytymistä.

3.2.1 Koodi

Virtaussimulaation koodi perustuu vahvasti Palloja laatikossa -koodiin, sillä tarkoituksena on toteuttaa simulaatio partikkelidynamiikan avulla. Erona on pallojen määrän lisäksi sofistikoituneempi käyttäytyminen: siinä missä laatikon pallot kimpoilivat kuin biljardipallot, maljan pallot putoavat painovoiman takia.

3.2.2 Ongelmat

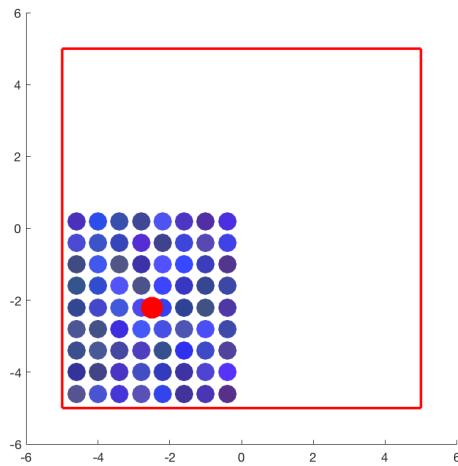
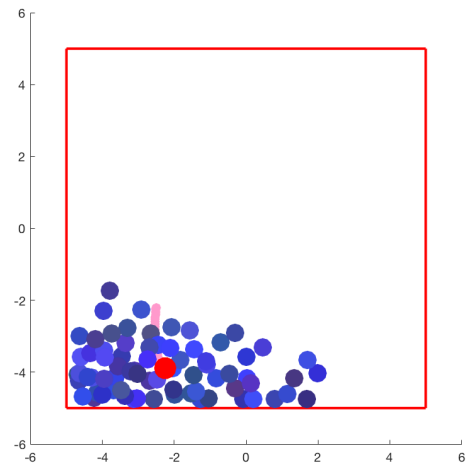
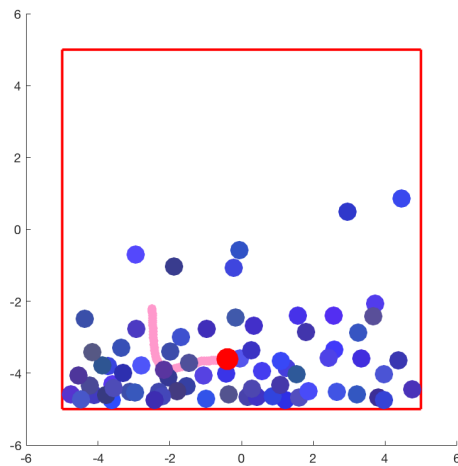
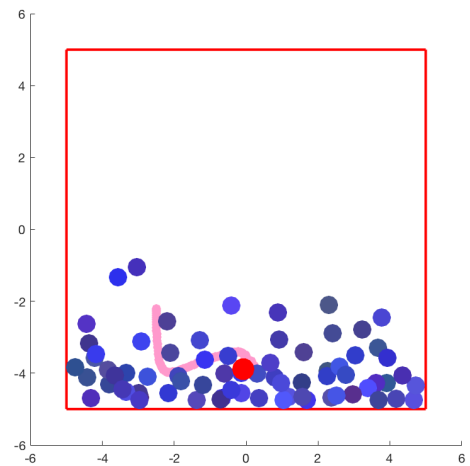
Tässä simulaatiossa syntyi huomattavasti enemmän ongelmia. Painovoiman painamina pallot jäivät herkästi päällekkäin kimpoamatta. Myös massakeskipiste näyttää, että alkuallan jälkeen vesi alkaa käyttäytyä hyvin tasaisesti.

Tässä vastaan tuli myös silkka laskentateho. Paremman simulaation saisi suurella määrällä pienenpieniä palloja, mutta jo mallissa käytetyt vaivaiset 72 palloa saa animaation näyttämään nykivältä.

Jo näinkin yksinkertainen simulaatio näyttää miksi videopeleissä pelaaja harvemmin pääsee realistisesti käyttäytyvään veteen, ja miksi vesi on yleensä hyvin tyylliteltyä: realistinen vesisimulaatio vie liikaa laskentatehoa.

4 KESKUSTELU

Työtä aloitettaessa suunnitelmana oli vertailla kaupallisia moottoreita, mutta selvisi, että niihin on mahdotonta päästä käsiksi. On ymmärrettävää, että kehittäjät haluavat varjella tuotteitaan. Yleistä kirjallisuutta oli hankala löytää, mistä voi päätellä alan olevan vielä suhteellisen nuori.

(a) Alkuasetelma $t = 0$ (b) Pallot ovat lähteneet liikkeelle, $t = 5s$ (c) Pallot aaltona oikealle laidalle, $t = 10s$ (d) Pallot rauhoittuvat maljan pohjalle, pientä lainehtimistä lukuun ottamatta, $t = 30s$

Kuva 5. Lainehtiva laatikko, jossa punaisella merkitty massakeskipiste, vaaleanpunaisella massakeskipisteen rata

Omia simulaattoreita tehdessä selvisi monia asioita. Niinkin yksinkertaista simulaatiota kuin pallojen laatikossa törmäily tehdessä täytyy ottaa huomioon paljon asioita, ja virheitä tulee helposti. Liikkeen määrittäminen oli helppoa, jopa törmäyksen jälkeen nopeutta oli helppo muokata oikeaoppisesti. Mutta usean kappaleen keskinäinen reagointi tuotti ongelmia. Järkevän virheenkäsittelytoiminnan tekeminen on haastavaa. Virtaussimulaatioissa ongelmat korostuivat. Oli yllättävää huomata kuinka huono simulaatio oli, vaikka se periaatteessa noudatti parhaaksi nähtyjä periaatteita. Olisi mielenkiintoista nähdä miten algoritmi toimisi suuremmalla määrällä pienempiä palloja, ja tehokkaammassa laitteistossa.

Perimmäinen ongelma numeerisissa simulaatioissa lienee se, että jatkuvaa maailmaa kuvataan epäjatkuvalle tavalla. Numeerisessa mallissa voi olla että törmäys rekisteröidään vasta kun kappaleet ovat jo sisäkkäin, tai nopeasti liikkuvat kappaleet hyppäävät toistensa yli koskematta.

5 YHTEENVETO

Työn tarkoituksena oli kartoittaa tunnettua tietoa fysiikkamoottoreista, keskittyen siihen, miten niitä kehitetään ja sovelletaan videopeleissä. Aihetta lähestyttiin mekaniikan ja virtauksen simuloimisen kautta. Työ aloitettiin kartoittamalla simuloitavien järjestemien perusteet. Osoittautui, että kaupallisista moottoreista on melko mahdotonta saada yksityiskohtaista tietoa, sillä yhtiöt suojelevat omaisuuttaan tarkasti.

Omia simulaatioita tehtiin kaksi: ensimmäinen kuvasi satunnaisesti laatikossa kimpolevaa joukkoa palloja, toinen sovelsi ensimmäistä virtauksen simuloimiseksi kuvaamalla nesteen liikettä partikkelijoukkona. Näissä simulaatioissa ongelmiksi osoittautui törmäyksen jälkeinen liike, ja jälkimmäisessä tapauksessa matala laskentateho esti paremman simulaation luomisen. Vaikka törmäyksen jälkeisen liikkeen suunnan ja suuruuden laskenta oli helppoa, palloit tahtoivat jäädä kiinni toisiinsa virheellisesti. Hyvä virtaussimulaatio vaatisi niin suuren määrän partikkeleja, että ohjelman ajaminen muuttuisi epämiellyttävän hitaaksi.

Lähteet

- Berchek, Chad (2009). *2-Dimensional Elastic Collisions without Trigonometry*. Published online, URL: www.vobarian.com/collisions/2dcollisions2.pdf.
- Catto, Erin (2012). "Physics for Game Programmers". Teoksessa: *Game Developers Conference 2012*.
- Godot (2018). Published online, URL: www.godotengine.org.
- Gregory, Jason (2009). *Game Engine Architecture*. CRC Press.
- Havok (2017). Published online, URL: www.havok.com.
- Korhonen, Joonas (2016). "Smoothed Particle Hydrodynamics virtausmekaniikan simulatiossa". Tutkielma. Jyväskylän yliopisto.
- Laine, Ville (2007). "Dynamiikan simulointi 3D-animaatiossa". Tutkielma. Lahden ammattikorkeakoulu.
- Nilson, Björn ja Söderberg, Martin (2007). "Game Engine Architecture". Tutkielma. Mälardalen University.
- Unity (2018). Published online, URL: www.unity3d.com.
- UnrealEngine (2018). Published online, URL: www.unrealengine.com/en-US/blog.

Kuvat

1	Paikka vakiokiihtyvyydellä, analyyttinen vs. diskreetti ratkaisu	9
2	Kahden pallon törmäys, projektiot sinisellä	12
3	Palloja laatikossa	14
4	Neljän pallon liikeradat: Violetti pallo jäi yläseinään	16
5	Lainehtiva laatikko, jossa punaisella merkitty massakeskipiste, vaaleanpunaisella massakeskipisteen rata	18

Liite 1: Palloja laatikossa MATLAB-koodi

```
1 % Code by Arna Hyvarinen
2
3 clc
4 clear all
5 close all
6 cla reset
7 hold on
8
9 % laatikon reunat
10 r1 = plot([-5 -5],[-5 5],'r','LineWidth',2);
11 r2 = plot([5 5],[-5 5],'r','LineWidth',2);
12 r3 = plot([-5 5],[-5 -5],'r','LineWidth',2);
13 r4 = plot([-5 5],[5 5],'r','LineWidth',2);
14
15 axis equal
16 axis([-6 6 -6 6]);
17
18 n = 20; % montako palloa
19
20 % satunnaiset lahtonopeudet ja -paikat
21 v0 = 25*rand(n,2);
22 p0 = 7*rand(n,2) - 3.5;
23
24 % maaritellaan vakioarvoja
25 dt = 0.01;
26 kimmo = 0.99; % kimmoisuus
27 radius = 0.25; % palloje koko
28 halkaisija = 2*radius;
29 time = 30.00001; % kuinka pitkaan ajetaan
30
31 % tarkistusliput: onko pallo seinan sisalla, tai toisen pallon sisalla
32 palloSeinassa = zeros(n,1);
33 palloPallossa = zeros(n,1);
34
35 piste = zeros(n,1); % piirtamis-muuttuja
36
```

```

37 p = zeros(n,2); % sijainti
38 v = zeros(n,2); % nopeus
39 % ensimmäinen sijainti ja nopeus alustetaan
40 for (i = 1:n)
41     p(i,:) = p0(i,:);
42 end
43
44 for (i = 1:n)
45     v(i,:) = v0(i,:);
46 end
47
48 % varit: jos palloja on saman verran tai vähemmän kuin biljardissa,
    biljardipallojen varit
49 % yellow, blue, red, magenta, orange, green, maroon, black
50 if n < 9
51     vari = [1, 1, 0
52             0, 0, 1
53             1, 0, 0
54             0.7, 0, 0.7
55             0.65, 0, 0
56             0, 1, 0
57             1, 0.5, 0
58             0, 0, 0
59             ];
60 else
61     vari = rand(n,3); % satunnaiset rgb-varit
62 end
63
64 % testataa, spawnaavatko pallot paallekkain. Jos kyllä, nosta lippu
65 for (i = 1:n)
66     for (j = (i+1):n)
67         dp = abs(p0(i,:)-p0(j,:));
68         osuu = (sqrt(dp(1)^2 + dp(2)^2) <= halkaisija);
69         if osuu
70             palloPallossa(i) = 1;
71             palloPallossa(j) = 1;
72         end
73     end

```

```

74 end
75
76 % toiminta alkaa
77 tic
78 while(toc < time)
79
80     % lasketaan pallojen seuraava sijainti
81     for (i = 1:n)
82         p(i,:) = p(i,:) + v(i,:)*dt;
83         piste(i) = plot(p(i,1),p(i,2),'.','Color',vari(i,:),'MarkerSize'
            ,50);
84     end
85
86     % reunoista kimpoaminen
87     % jos pallo on seinassa, ei kimpoamista
88     for (i = 1:n)
89         if ((5-abs(p(i,1)) <= radius) && palloSeinassa(i) == 0
90             v(i,1) = -v(i,1);
91             v(i,1) = kimmo*v(i,1);
92             v(i,2) = kimmo*v(i,2);
93             palloSeinassa(i) = 1;
94         elseif ((5-abs(p(i,2)) <= radius) && palloSeinassa(i) == 0
95             v(i,2) = -v(i,2);
96             v(i,1) = kimmo*v(i,1);
97             v(i,2) = kimmo*v(i,2);
98             palloSeinassa(i) = 1;
99         elseif ((5-abs(p(i,1)) > radius) && palloSeinassa(i) == 1
100             palloSeinassa(i) = 0;
101         elseif ((5-abs(p(i,2)) > radius) && palloSeinassa(i) == 1
102             palloSeinassa(i) = 0;
103     end
104 end
105
106
107 % pallojen toisistaan kimpoaminen
108 % jos pallot ovat sisakkain, ei kimpoamista
109 for (i = 1:n)
110     for (j = (i+1):n)

```



```

111         dp = abs(p(i,:)-p(j,:));
112         osuu = (dp(1)^2 + dp(2)^2 <= halkaisija^2);
113         if osuu && (palloPallossa(i) == 0) && (palloPallossa(j) == 0)
114             v1 = v(i,:);
115             v2 = v(j,:);
116             x1 = p(i,:);
117             x2 = p(j,:);
118             v(i,:) = kimmo* v1 - dot(v1-v2,x1-x2)/(norm(x1-x2))^2 * (
                x1-x2);
119             v(j,:) = kimmo* v2 - dot(v2-v1,x2-x1)/(norm(x2-x1))^2 * (
                x2-x1);
120             palloPallossa(i) = 1;
121             palloPallossa(j) = 1;
122         elseif not(osuu) && (palloPallossa(i) == 1) && (palloPallossa
            (j) == 1)
123             palloPallossa(i) = 0;
124             palloPallossa(j) = 0;
125         end
126     end
127 end
128
129 % piirtaminen
130 drawnow;
131 for (i = 1:n)
132     delete(piste(i));
133 end
134
135 end
136
137 % viimeisten pisteiden piirtaminen
138 for (i = 1:n)
139     plot(p(i,1),p(i,2),'.','Color',vari(i,:),'MarkerSize',50);
140 end
141
142 %eof

```

Liite 2: Malja MATLAB-koodi

```
1 % Code by Arna Hyvarinen
2
3 clc
4 clear all
5 close all
6 cla reset
7 hold on
8
9 % laatikon reunat
10 r1 = plot([-5 -5], [-5 5], 'r', 'LineWidth', 2);
11 r2 = plot([5 5], [-5 5], 'r', 'LineWidth', 2);
12 r3 = plot([-5 5], [-5 -5], 'r', 'LineWidth', 2);
13 r4 = plot([-5 5], [5 5], 'r', 'LineWidth', 2);
14
15 axis equal
16 axis([-6 6 -6 6]);
17
18 n = 72; % montako palloa
19
20 % maaritellaan vakioarvoja
21 dt = 0.01;
22 kimmo = 0.99; % kimmoisuus
23 radius = 0.25; % palloje koko
24 halkaisija = 2*radius;
25 time = 30.00001; % kuinka pitkaan ajetaan
26 g = 100; % painovoima
27
28 mkp = 0; % massakeskipiste
29
30 % pieni satunnainen lahtonopeus
31 k = 5;
32 v0 = -k/2 + k*rand(n,2);
33
34 % alkupaikat, aseteltuna
35 x = linspace(-4.6, -0.4, 8);
36 px = ones(n/3,1);
```

```

37 pya = [3.4:0.6:5];
38 py = [];
39 for i = 1:length(x)
40     px(i*3-2:i*3) = x(i);
41     py = [py pya];
42 end
43 py = -py';
44 p0 = [px py
45       px py+1.8
46       px py+1.8*2];
47
48 % tarkistusliput: onko pallo seinan sisalla, tai toisen pallon sisalla
49 palloSeinassa = zeros(n,1);
50 palloPallossa = eye(n,n);
51
52 piste = zeros(n,1); % piirtamis-muuttuja
53
54 p = zeros(n,2); % sijainti
55 v = zeros(n,2); % nopeus
56 % ensimmäinen sijainti ja nopeus alustetaan
57 for (i = 1:n)
58     p(i,:) = p0(i,:);
59 end
60
61 for (i = 1:n)
62     v(i,:) = v0(i,:);
63 end
64
65 vari = 0.5 + (1-0.5)*rand(n,3); % satunnaiset siniset rgb-varit
66 vari(:,1) = vari(:,1)*0.35;
67 vari(:,2) = vari(:,2)*0.35;
68
69 % toiminta alkaa
70 tic
71 while(toc < time)
72
73     % lasketaan pallojen seuraava sijainti ja nopeus
74     for (i = 1:n)

```

```

75     v(i,:) = v(i,:) - [0,g]*dt; % puotoamiskiihtyvyyys on alas ja
        vakio
76     p(i,:) = p(i,:) + v(i, :)*dt;
77     piste(i) = plot(p(i,1),p(i,2),'.','Color',vari(i,),'MarkerSize'
        ,50);
78     end
79
80     % piirretaan massakeskipiste
81     plot( (sum(p(:,1))/n), (sum(p(:,2))/n),'.','Color',[1 0.6 0.8], '
        MarkerSize',25 );
82     mkp = plot( (sum(p(:,1))/n), (sum(p(:,2))/n),'r.','MarkerSize',60 );
83
84     % reunoista kimpoaminen
85     % jos pallo on seinassa, ei kimpoamista
86     for (i = 1:n)
87         if ((5-abs(p(i,1)) <= radius) && palloSeinassa(i) == 0
88             v(i,1) = -v(i,1);
89             v(i,1) = kimmo*v(i,1);
90             v(i,2) = kimmo*v(i,2);
91             palloSeinassa(i) = 1;
92         elseif ((5-abs(p(i,2)) <= radius) && palloSeinassa(i) == 0
93             v(i,2) = -v(i,2);
94             v(i,1) = kimmo*v(i,1);
95             v(i,2) = kimmo*v(i,2);
96             palloSeinassa(i) = 1;
97         elseif ((5-abs(p(i,1)) > radius) && palloSeinassa(i) == 1
98             palloSeinassa(i) = 0;
99         elseif ((5-abs(p(i,2)) > radius) && palloSeinassa(i) == 1
100             palloSeinassa(i) = 0;
101     end
102
103     % jos pallo paatyy maljan ulkopuolelle, se sijoitetaan takaisin
        sen
104     % sisalle
105     if p(i,1) < -5 + radius
106         p(i,1) = -5 + radius;
107     end
108     if p(i,1) > 5 - radius

```

```

109         p(i,1) = 5 - radius;
110     end
111     if p(i,2) < -5 + radius
112         p(i,2) = -5 + radius;
113     end
114     if p(i,2) > 5 - radius
115         p(i,2) = 5 - radius;
116     end
117 end
118
119
120 % pallojen toisistaan kimpoaminen
121 % jos pallot ovat sisakkain, ei kimpoamista
122 for (i = 1:n)
123     for (j = (i+1):n)
124         dp = abs(p(i,:)-p(j,:));
125         osuu = (dp(1)^2 + dp(2)^2 <= halkaisija^2);
126         if osuu && (palloPallossa(i,j) == 0)
127             v1 = v(i,:);
128             v2 = v(j,:);
129             x1 = p(i,:);
130             x2 = p(j,:);
131             v(i,:) = kimmo* v1 - dot(v1-v2,x1-x2)/(norm(x1-x2))^2 *(
                x1-x2);
132             v(j,:) = kimmo* v2 - dot(v2-v1,x2-x1)/(norm(x2-x1))^2 *(
                x2-x1);
133             palloPallossa(i,j) = 1;
134             palloPallossa(j,i) = 1;
135         elseif not(osuu) && (palloPallossa(i,j) == 1)
136             palloPallossa(i,j) = 0;
137             palloPallossa(j,i) = 0;
138         end
139     end
140 end
141
142 % piirtaminen
143 drawnow;
144 for (i = 1:n)

```

```
145         delete(piste(i));
146     end
147     delete(mkp)
148 end
149
150 % viimeisten pisteiden ja masakeskipisteen piirtaminen
151 for (i = 1:n)
152     plot(p(i,1),p(i,2),'.','Color',vari(i,:),'MarkerSize',50);
153 end
154 plot( (sum(p(:,1))/n), (sum(p(:,2))/n), 'r.','MarkerSize',60 );
155
156 %eof
```